

大阪大学工学部 正員 川谷 充郎  
 大阪大学工学部 学生員 下野 正人  
 森 淳彦  
 森技術研究所

大阪大学大学院 学生員 西山 誠治  
 僕高田機工 正員○山田 靖則

**1. まえがき** 道路橋の走行車両による動的応答に関する振動制御について関心が持たれているが、その制振の実績は少ない<sup>1) - 2)</sup>。道路橋における試験車走行実験により、大型車の走行速度が変わると、主桁動的応答の周波数の変化することが分かり、桁の動的応答は、振幅と周波数が車両の通過と共に変化する過渡的な応答特性を有する<sup>3)</sup>。このような動的挙動の制御のために、筆者らは制振効果の高いハイブリッド方式を開発し、模型桁に対する実験を行ってきた<sup>4) - 5)</sup>。今回の実験では、模型桁を新しく製作し、固有振動数を3Hzにした。また、模型車を定速走行させるために駆動装置を作製した。

**2. 振動制御装置の概要 (1) 橋桁制振装置** 制振装置は、制振質量を板ばねで支持する片持ち梁を基本系とし、その固有振動数は橋桁のそれにほぼ一致させた。制御力を加え Table 1 Properties of hybrid control system するACサーボモータと制振質量とは、ブーリおよびタイミングベルトにより結合させる。橋桁に加速度センサーを取り付け、制振質量の変位を橋桁に追従させる位置サーボ系を構成する。本ハイブリッド型制振装置の基本仕様をTable 1に掲げる。

**(2) 振動制御システムの構成** Fig. 1の構成ブロック図に示すごとく、桁模型の中央部に本制振装置を取り付ける。桁の同一箇所に取り付けた加速度計からの出力 $\ddot{Z}$ より制振質量の変位指令信号 $X_0 = AZ + B\dot{Z} + C\ddot{Z}$  (A, B, Cは定数)を算出する。この制振装置の変位指令 $X_0$ に対する実変位 $X$ の周波数応答は、Fig. 2に示す振幅および位相特性を持ち、3Hzの卓越振動数を有する桁模型に対しては、有効な応答性があると言える。

正弦波振動について考えるとき、制振質量の変位 $X$ を桁の振動速度 $\dot{Z}$ に正比例させるためには、定数Bのみを最適値に設定し、定数AとCは0でよいことになる。しかし、このような制御系では、本質的に高周波数領域ほど、自励発振に陥る傾向を常に持つておらず、その対策として加速度信号增幅器にローパスフィルターを加えた。これによる位相遅れを生じるので、定数AあるいはCを調整して、 $\dot{Z}$ 信号に対する直角成分の信号を加算し、位相遅れを補正する。ここでは、定数Aのみを調整し、Cは常に0とした。

**3. 桁橋模型実験(1) 実験概要** Fig. 3に示すように、鋼板をH型に組み立てた単純支持桁を製作した。測定径間において自由振動実験および模型車走行による強制振動実験を行った。制振装置の重量16.21kgfを加えた模型桁の固有振動数は3.0Hzとなった。模型桁の構造諸元をTable 2に掲げる。車両走行による強制振動実験では、インバータ制御ACモータによりタイミングベルトを介して模型車を前後進させる駆動装置を用いた。測定径間の前後に加速径間および減速径間を設けて、測定径間では模型車ができる限り定速走行できるようにした。これにより、桁中央部に段差を設けることなく、励振するのに十分な速度を得ることができる。

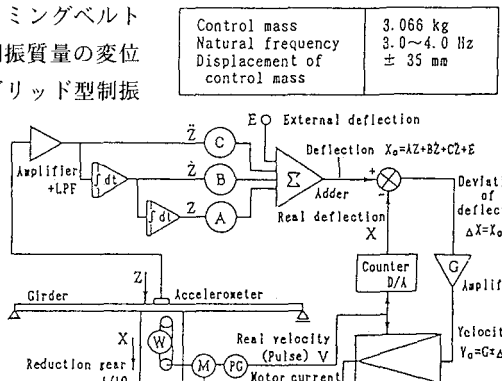
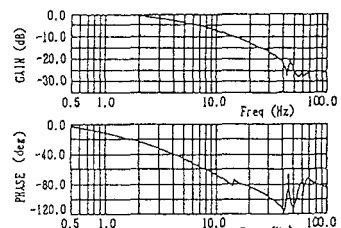


Fig. 1 Block diagram of control system

Fig. 2 Frequency response characteristics for deflection  $X_0$ .

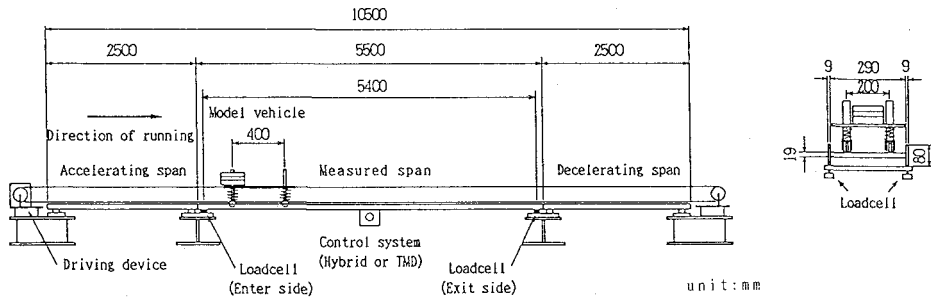


Fig. 3 General view of experiment

Table 2 Structural properties of model girder

Span length	5.4 (m)
Cross sectional area	72.12 ( $\text{cm}^2$ )
Weight per unit length	56.6 ( $\text{kN/m}$ )
Moment of inertia of area	93.9 ( $\text{cm}^4$ )

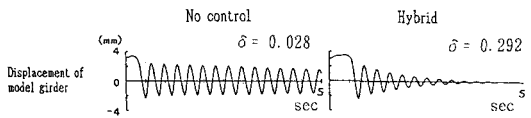


Fig. 4 Damped free vibration of model girder

Table 3 Damped free vibration of model girder

Control system	Amplitude (mm)	Number of waves	Logarithmic decrement (Correlation coefficient)	Natural frequency (Hz)	Displacement of control mass (mm)
No working	dis. 2,467-1,646	14	0.028 (0.994)	3.00	—
Working(hybrid)	dis. 1,966-0,637	4	0.292 (1.000)	3.00	17.0

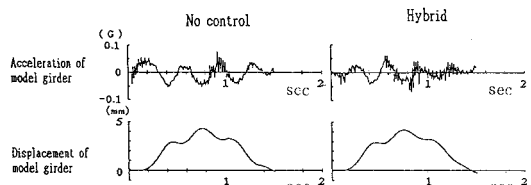


Fig. 5 Dynamic response of model girder under moving vehicle  
(Moving velocity = 3.6 m/s)

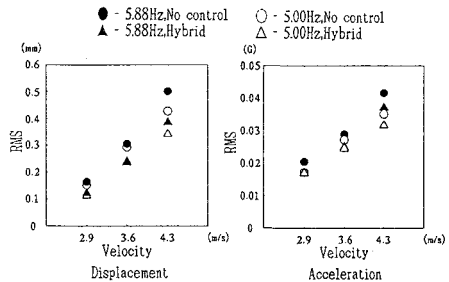


Fig. 6 RMS of dynamic response under moving vehicle

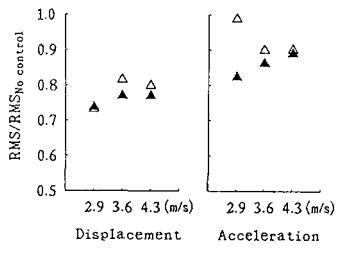


Fig. 7 RMS/RMS of no control

#### 参考文献

- 矢作 桀・吉田和彦：土木学会論文集, 第365号／I-3, pp. 435-444, 1985.4.
- 梶川康男・沖野 真・宇賀 滋・松浦康夫・伊関治郎：土木学会 構造工学論文集, Vol.35A, pp. 585-595, 1989.3.
- 難波宗行・川谷充郎・林 秀侃・中村一平・西星匡博：土木学会 第45回年次学術講演会, 講演概要集, I-375, 1990.9.
- 川谷充郎・西山誠治・森 淳彦：アクティブ制震（振）シンポジウム論文集, pp. 225-232, 1992.3.\*
- 川谷充郎・西山誠治・木本明男・森 淳彦：平成4年度関西支部年次学術講演会講演概要, I-56, 1992.5.